

Dispersibility Promotion of the Carbon Black Pigments and Optimization of the Process Via Response Surface Methodology (RSM)

Majid Mazhar*, Ali Reza Amani-Ghadim, Farid Naderi-Baher, Ahmad Pourhosein

Chemistry Department, Faculty of Basic Science, Azarbaijan Shahid Madani University, P. O. Code: 5375171379, Tabriz, Iran.

ARTICLE INFO

Article history:

Received: 01-09-2022

Accepted: 11-10-2022

Available online: 16-10-2022

Print ISSN: 2251-7278

Online ISSN: 2383-2223

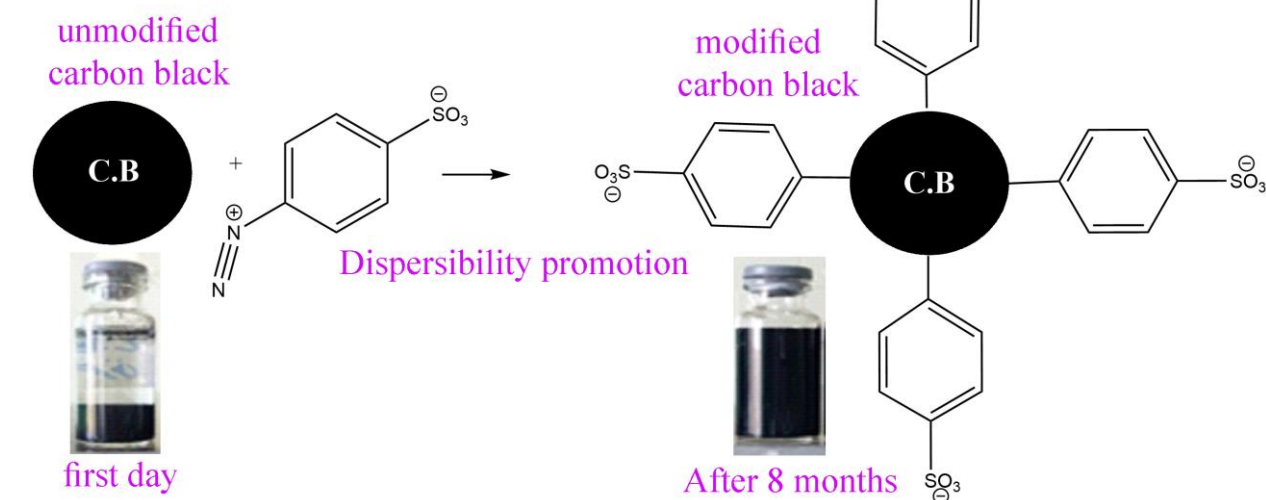
DOI: [20.1001.1.22517278.1401.12.2.6.3](https://doi.org/10.1001.1.22517278.1401.12.2.6.3)

Keywords:

Carbon Black
Surface modification
Pigment
Diazotization
Dispersion
Sulfanilic acid

ABSTRACT

One of the main problems of the paint and ink industry is the dispersion of carbon black in water-based media. Surface modification of the particles was used as an effective method to overcome the problem. Diazotized sulfanilic acid was used to modify the carbon black surface as the modifier. Due to the diversity of effective parameters and vast levels, the RSM method was used to find a suitable range of the parameters (temperature, modifier amount, ultrasonic time, and pH) at 5 levels. The properties of the modified pigment were analyzed by DLS, TGA/DTG, and FT-IR. Also, the accuracy of the modification was confirmed. Optimum conditions for modification were pH = 3.66, temperatures around 25 °C, ultrasonic time of 30 minutes, and 6.25 mmol of the modifier. The optimally modified sample showed very high dispersion stability, so this sample has remained dispersed and stable for more than 8 months without any precipitation.



*Corresponding author: Majid_mazhar91@aut.ac.ir



This work is licensed under a Creative Commons Attribution 4.0 International License



ارتقا پخش شوندگی رنگدانه های کربن سیاه در محیط های آبی و بهینه سازی فرآیند به روشن رویه پاسخ

مجید مظہر قرامکی^{۱*}، علیرضا امانی قدیم^۲، فرید نادری باهر^۳، احمد پور حسین^۴

- ۱- استادیار، گروه شیمی، دانشکده علوم پایه، دانشگاه شهید مدنی آذربایجان، تبریز، ایران، کد پستی: ۵۳۷۵۱۷۱۳۷۹
- ۲- دانشیار، گروه شیمی، دانشکده علوم پایه، دانشگاه شهید مدنی آذربایجان، تبریز، ایران، کد پستی: ۵۳۷۵۱۷۱۳۷۹
- ۳- کارشناسی ارشد، گروه شیمی، دانشکده علوم پایه، دانشگاه شهید مدنی آذربایجان، تبریز، ایران، کد پستی: ۵۳۷۵۱۷۱۳۷۹
- ۴- کارشناسی، گروه شیمی، دانشکده علوم پایه، دانشگاه شهید مدنی آذربایجان، تبریز، ایران، کد پستی: ۵۳۷۵۱۷۱۳۷۹

چکیده

یکی از مشکلات صنعت رنگ و جوهر، پخش کربن سیاه در محیط آبی می باشد. به منظور رفع این مشکل، اصلاح سطحی رنگدانه های کربن سیاه با استفاده از دی آزو تاسیون اسید سولفانیلیک و واکنش آن با این رنگدانه در دستور کار قرار گرفت. به علت تعدد عوامل اثرگذار، از روش رویه پاسخ (RSM) برای یافتن حدود مناسب استفاده گردیده و اثر چهار عامل دما، مقدار اصلاح کننده، زمان فرآصوت و pH اصلاح در ۵ سطح بررسی گردید. خواص رنگدانه اصلاح شده توسط آزمون های (DLS, TGA/DTG, FTIR) مورد بررسی قرار گرفته و صحت اصلاح انجام یافته تائید گردید. شرایط بهینه برای اصلاح $pH = ۳/۶۶$ دمای های حدود ۱۷ درجه سانتی گراد زمان فرآصوت ۳۰ دقیقه و مقدار اصلاح کننده $۰/۲۵$ میلی مول تعیین گردید. نمونه اصلاح شده در شرایط بهینه، پایداری سوسپانسون بسیار بالایی از خود نشان داد. به نحوی که این نمونه بیش از ۱ ماه بدون ایجاد هیچ گونه تهذیبی، به صورت معلق و پایدار باقی مانده است.

اطلاعات مقاله

تاریخچه مقاله:

تاریخ دریافت: ۱۴۰۱، ۰۶/۱۰

تاریخ پذیرش: ۱۴۰۱، ۰۷/۱۹

در دسترس به صورت الکترونیکی: ۱۴۰۱/۰۷/۲۴

شاپا چاپی: ۲۲۵۱-۷۲۷۸

شاپا الکترونیکی: ۲۳۸۳-۲۲۲۳

DOR: 20.1001.1.22517278.1401.12.2.6.3

واژه های کلیدی:

کربن سیاه

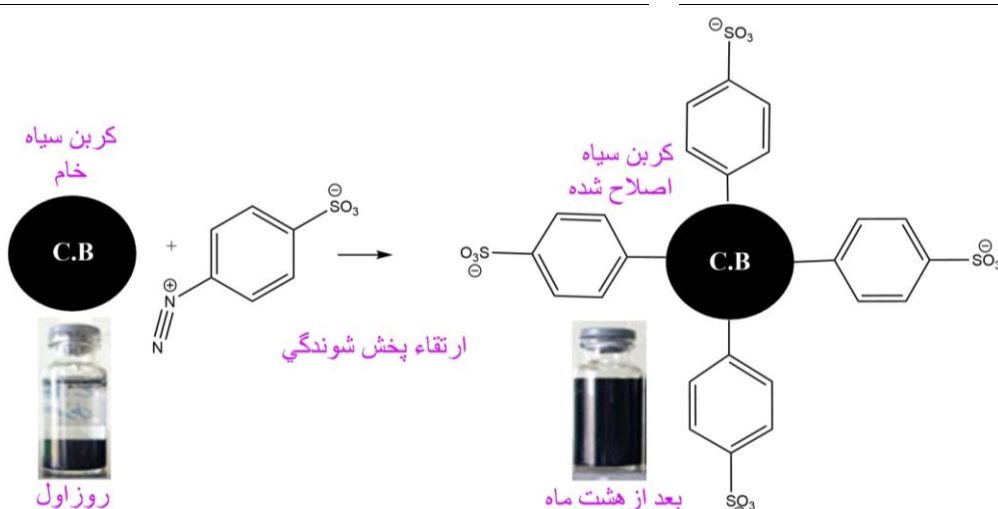
اصلاح سطحی

رنگدانه

دی آزو تاسیون

پخش شوندگی

اسید سولفانیلیک



Corresponding author: Majid_mazhar91@aut.ac.ir



This work is licensed under a Creative Commons Attribution 4.0 International License

تهییه پوش رنگهای پایه آب می گردد. همچنین ممکن است با صرف انرژی بسیار زیاد و استفاده از افروزندهای مناسب، بتوان این رنگدانه را در پوش رنگهای آبی پخش نمود ولی به دلایل ذکر شده در بالا، مخلوط حاصل، پایداری لازم را نداشته و نهایتاً بعد از گذشت مدت زمان نسبتاً کم، رنگدانه های کربن سیاه در مخلوط تهشیش شده و تجمع دوباره آنها اتفاق می افتد. جهت مقابله با این پدیده، محققان مختلف، راهکارهای متفاوتی را ارائه می دهند. راهکارهای پیشنهاد شده را می توان در دو سازو کار ممانت فضایی و دفع الکترواستاتیک تقسیم بندی نمود. در روش ممانت فضایی، پلیمرهایی با زنجیره های بلند بر روی ذرات کربن سیاه به روش های مختلفی متصل می گردند که وجود این زنجیره ها که غالباً تلاش می گردد آب دوست باشند، بر روی ذرات کربن سیاه مانع از نزدیک شدن دو ذره به یکدیگر شده و در نتیجه تجمعی رخ نمی دهد [۱-۵]. اتصال پلیمرها بر روی ذرات رنگدانه در این روش، می تواند به صورت فیزیکی [۶] و یا شیمیایی [۷-۹] باشد. در روش فیزیکی، معمولاً پلیمر مدنظر به واسطه نیروهای واندروالسی به سطح کربن سیاه جذب می گردد که معمولاً در این روش از کوپلیمرهای بلوکه استفاده می شود که در آنها بلوکی با طبیعت غیرقطبی وجود دارد که این بلوک با ایجاد نیروهای بین مولکولی واندروالسی به سطح ذرات کربن سیاه جذب شده و بلوک های دیگر که قطبی هستند، سبب پخش این ذرات در محیط آبی می گردد. این روش در شکل (a) به صورت طرح واره نشان داده شده است.

¹ Lamp Black

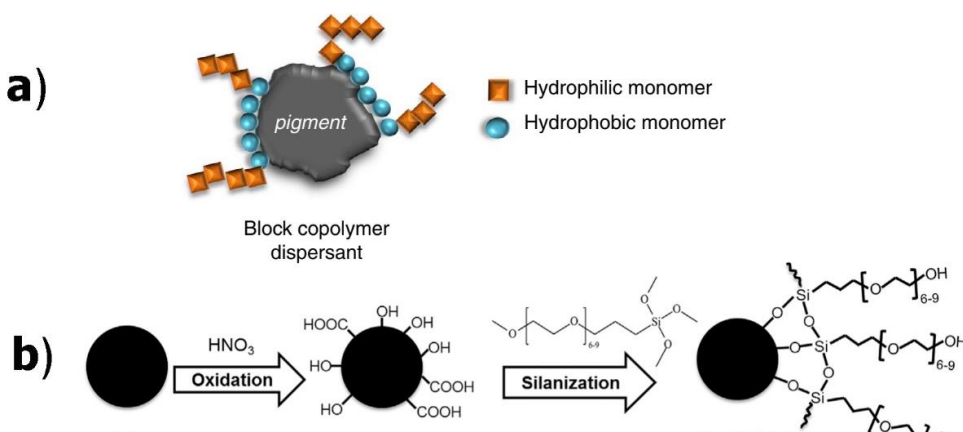
² Furnace Black

³ Thermal Black

⁴ Channel Black

۱- مقدمه

کربن سیاه که اغلب حاوی ۹۰-۹۹ درصد کربن عنصری است، دارای ذراتی به شکل کروی و کریستالی با اندازه متفاوت می باشد. کوچک ترین واحد های قابل پخش کربن سیاه، توده های نامنظم به اندازه ۵۰ تا ۵۰۰ نانومتر می باشد که این توده ها از دانه هایی کروی با قطر ۱۰ تا ۷۵ نانومتر تشکیل شده اند. کربن سیاه دارای خواص ویژه ای است که منجر به افزایش کاربرد آن در صنایع بسیاری شده است. از این ویژگی ها می توان به جذب پرتو UV، قدرت رنگ دهنی فوق العاده، خاصیت ضد استاتیک، ثبات رنگی بالا در برابر هوا، نور و حرارت اشاره نمود [۱-۴]. این خواص باعث گردیده است که رنگدانه کربن سیاه به عنوان یک رنگدانه پر مصرف در صنایع رنگ سازی ساختمانی و خودرو بی، جوه رسانی، لاستیک سازی و سایر صنایع مرتبط مورد استفاده قرار گیرد. این رنگدانه به روش های مختلفی تولید می گردد که بسته به روش تولید آنها، محصول را با نام های مختلفی از جمله سیاه فانوس^۱- سیاه کوره^۲- سیاه حرارتی^۳- سیاه کانال^۴ نام گذاری می کنند. هر کدام از محصولات مورد اشاره، خلوص و خواص فیزیکی و شیمیایی متفاوتی نیز دارند [۴]. با توجه به طبیعت آلی رنگدانه های کربن سیاه که به طور عمده از عنصر کربن ساخته شده اند، نیروهای واندروالسی قوی مابین ذرات ایجاد می گردد. اگرچه ممکن است گروه های عاملی معدهودی به صورت کربونیل، هیدروکسی و یا اسید کربوکسیلیک بر روی سطح ذرات کربن سیاه حین فرآیند تولید ایجاد گردد ولی به دلیل تعداد کم این گروه ها، در عمل سطح این رنگدانه ها آب گریزی بالایی از خود نشان می دهد. این پدیده سبب می گردد که حین اختلاط این مواد با آب، رنگدانه های کربن سیاه دور خود تجمع یافته و در نتیجه پخش شوندگی مناسبی در محیط های آبی از خود نشان ندهند. بروز این پدیده سبب دشواری



شکل ۱: اصلاح ذرات کربن سیاه با استفاده از پلیمرها، a) اتصال فیزیکی اصلاح کننده به کربن سیاه [۶]، b) پیوند شیمیایی اصلاح کننده به کربن سیاه [۸].

Figure 1: Modification of carbon black pigments via polymeric materials: a) physical interaction of the modifier b) chemically bonded modifier [8].

۲- بخش تجربی

۱- مواد

کربن سیاه مورد استفاده در این مطالعه، به صورت صنعتی از شرکت Deggusa آلمان با کد FW200 تهیه گردید. این رنگدانه بدون هیچ نوع اصلاح و یا خالص‌سازی و به همان صورت خریداری شده، مورد استفاده قرار گرفت. اسید سولفانیلیک مورد استفاده در این مطالعه از شرکت مرک (Merck) تهیه گردید. کربنات سدیم، اسید سولفامیک، اسید هیدروکلریک و سدیم نیتریت از شرکت سیگما الدریچ (Sigma Aldrich) خریداری شده و بدون خالص‌سازی اضافی، مورد استفاده قرار گرفتند.

۲- بینه‌سازی و مدل‌سازی فرآیند اصلاح سطح کربن

سیاه به وسیله روش رویه پاسخ

به منظور بهینه‌سازی فرآیند اصلاح سطح ذرات کربن سیاه جهت رسیدن به بیشترین مقدار اصلاح سطح از روش رویه پاسخ و طراحی ترکیب مرکزی^۱ (CCD) استفاده شد. در این روش متغیرهای ورودی شامل عواملی است که سطوح آن‌ها در واحدها و بازه‌های مختلف هستند. با توجه به آزمایش‌های اولیه انجام گرفته، چهار عامل pH، مدت زمان فراصلوت (min)، دما (°C) و مقدار اصلاح‌کننده (mmol) به عنوان عوامل موثر اصلی (متغیر مستقل) و میزان مقاومت بر حسب $K\Omega$ به عنوان پاسخ در نظر گرفته شدند و تمام عوامل در پنج سطح مختلف (- α , -۱, ۰, +۱, + α) مورد بررسی قرار گرفتند. محدوده و طرح مورد استفاده در جدول ۱ ارائه شده است. طراحی آزمایش‌ها و آنالیز نتایج حاصل توسط نرم‌افزار Minitab 14 انجام گردید. براساس طراحی CCD، ۳۰ آزمایش برای ۴ عامل در پنج سطح توسط نرم‌افزار پیشنهاد شد که شرایط آزمایش‌های پیشنهادی در جدول ۲ ارائه گردیده است.

جدول ۱: مقادیر واقعی و کدگذاری شده متغیرهای مستقل استفاده شده در طراحی آزمایش‌ها.

Table 1: Real and coded values of independent variables used in the design of experiments.

| سطح پارامترها | | | | | متغیرهای مستقل |
|---------------|-------|------|-------|------------|--------------------------|
| + α | +۱ | صفر | -۱ | - α | |
| ۵۰ | ۴۰ | ۳۰ | ۲۰ | ۱۰ | زمان فراصلوت (دقیقه) |
| ۱۳ | ۱۰ | ۷ | ۴ | ۱ | pH |
| ۱۲ | ۹/۱۲۵ | ۶/۲۵ | ۳/۳۷۵ | ۰/۵ | مقدار اصلاح‌کننده (mmol) |
| ۴۳ | ۳۳ | ۲۳ | ۱۳ | ۳ | دما (oC) |

² Central composite design

در حالی که در روش شیمیایی، پلیمر با ایجاد پیوندهای کووالانسی، به سطح ذرات کربن سیاه متصل می‌گردد.

به عنوان مثال روئیز^۱ و همکارانش از پلی اتیلن گلیکول (PEG) برای اصلاح سطح ذرات کربن سیاه و افزایش پایداری دیسپرژن آن استفاده کردند. آن‌ها به این منظور ابتدا ذرات کربن سیاه را با اسید نیتریک (HNO_3) اکسید نموده تا گروه‌های عاملی مختلف بر روی سطح ذرات ایجاد شود. سپس پلی اتیلن گلیکول را به روش سیلان‌دار کردن، به صورت کووالانسی، روی سطح کربن سیاه اتصال دادند. در نتیجه این اصلاح، آب دوستی و پایداری پخش ذرات کربن سیاه افزایش یافت و میزان اصطکاک این رنگدانه‌ها به خاطر اصلاح سطح، کاهش چشمگیری داشت [۸].

ایراد روش استفاده از پلیمرها برای اصلاح سطح ذرات کربن سیاه، به منظور افزایش پخش شوندگی آنها در محیط‌های آبی، هزینه زیاد، پیچیدگی و تعدد واکنش‌های لازم، احتمال متاثر شدن رنگ رنگدانه از روش اصلاح و در نهایت عدم امکان تجاری‌سازی محصول به دلایل مذکور می‌باشد. در مقابل روش استفاده از پلیمرها که برای ایجاد ممانعت فضایی مورد استفاده قرار می‌گرفت، روش باردار کردن ذرات می‌تواند به عنوان یک جایگزین مناسب که در آن ایرادات مذکور مرتفع گردیده اند، معرفی گردد. نکته مهم در تحقق این امر، استفاده از مواد ارزان قیمت، سادگی روش اصلاح و پایداری بالای رنگدانه پخش شده در محیط اعمالی و عدم تاثیرگذاری در رنگ رنگدانه می‌باشد.

یکی از روش‌های اصلاح مواد کربنی، استفاده از نمک‌های دی آزونیم می‌باشد که با استفاده از این روش، گروه‌های عاملی مختلفی از جمله گروه‌های آنتراکینونی [۱۰]، نیترو فنیل [۱۱]، پارا آزوینزن [۱۲]، هیدروکسی بنزیل [۱۳] و سایر گروه‌ها [۱۴] بر روی بسترها مختلف ایجاد می‌گردد. این روش، به عنوان یک روش ساده، سریع و با صرفه اقتصادی بالا معرفی گردیده است [۱۰]. با مراجعة به منابع علمی، مشاهده می‌گردد که از این روش، در کاربردهای مختلفی استفاده گردیده است [۱۳، ۱۵، ۱۷]. در این مطالعه، تلاش می‌گردد تا با استفاده از نمک دی آزونیم اسید سولفانیلیک که یک ماده ارزان قیمت و در دسترس می‌باشد، جهت اصلاح سطحی رنگدانه کربن سیاه استفاده نموده و عوامل اثر گذار بر روی این اصلاح را به روش رویه پاسخ بهینه‌سازی اثر عوامل مختلف در یک فرآیند و بررسی برهم‌کنش‌های موجود بین آن عوامل می‌باشد که در دهه‌های اخیر به مقدار زیادی مورد توجه محققین قرار گرفته است [۱۸، ۱۹].

¹ Ruiz

جدول ۲: شرایط آزمایش های پیشنهاد شده توسط CCD جهت بهینه سازی و مدل سازی فرآیندهای اصلاح سطح رنگدانه کربن سیاه.

Table 2: Test conditions proposed by CCD to optimize and model carbon black surface modification processes.

| Run | HCl (ml) | NaNO ₂ (g) | مقدار دی آزو (mmol) | دما (°C) | زمان (دقیقه) | pH | Std | مقدار مقاومت (کیلواهم) | |
|-----|-------------|--------------------------|------------------------|-------------|-----------------|----|-----|--------------------------|----------------------------------|
| | | | | | | | | پیش بینی شده توسط مدل | اندازه گیری شده به صورت تجربی |
| خام | - | - | - | - | - | - | - | - | ۲۳ |
| ۱ | ۲/۷۴ | ۰/۶۳۰ | ۹/۱۲۵ | ۱۳ | ۴۰ | ۱۰ | ۱۲ | ۲/۹۸ | ۳/۵ |
| ۲ | ۱/۹ | ۰/۴۳۱ | ۶/۲۵ | ۲۳ | ۳۰ | ۱۳ | ۱۸ | ۱۶/۱۲ | ۱۵/۹ |
| ۳ | ۱/۹ | ۰/۴۳۱ | ۶/۲۵ | ۲۳ | ۳۰ | ۷ | ۲۵ | ۳/۱۸ | ۳/۷ |
| ۴ | ۱ | ۰/۲۲۳ | ۳/۳۷۵ | ۳۳ | ۴۰ | ۴ | ۷ | ۱۰/۸۶ | ۱۰/۵ |
| ۵ | ۱ | ۰/۲۲۳ | ۳/۳۷۵ | ۱۳ | ۴۰ | ۸ | ۴ | ۳/۱۴ | ۳/۶ |
| ۶ | ۳/۶ | ۰/۸۳۰ | ۱۲ | ۲۳ | ۳۰ | ۷ | ۲۴ | ۱۱/۵۷ | ۱۱/۵ |
| ۷ | ۱ | ۰/۲۲۳ | ۳/۳۷۵ | ۳۳ | ۴۰ | ۱۰ | ۸ | ۲/۹۷ | ۳/۴ |
| ۸ | ۱ | ۰/۲۲۳ | ۳/۳۷۵ | ۱۳ | ۴۰ | ۴ | ۳ | ۸/۹۲ | ۹/۷ |
| ۹ | ۲/۷۴ | ۰/۶۳۰ | ۹/۱۲۵ | ۱۳ | ۲۰ | ۱۰ | ۱۰ | ۴/۲۶ | ۴/۶ |
| ۱۰ | ۱/۹ | ۰/۴۳۱ | ۶/۲۵ | ۲۳ | ۵۰ | ۷ | ۲۰ | ۱۰/۶۹ | ۱۰/۲ |
| ۱۱ | ۲/۷۴ | ۰/۶۳۰ | ۹/۱۲۵ | ۱۳ | ۲۰ | ۴ | ۹ | ۴/۵۹ | ۴/۶ |
| ۱۲ | ۱/۹ | ۰/۴۳۱ | ۶/۲۵ | ۲۳ | ۳۰ | ۷ | ۲۷ | ۸/۵۵ | ۹/۲ |
| ۱۳ | ۱/۹ | ۰/۴۳۱ | ۶/۲۵ | ۲۳ | ۳۰ | ۷ | ۲۹ | ۳/۴ | ۴/۶ |
| ۱۴ | ۲/۷۴ | ۰/۶۳۰ | ۹/۱۲۵ | ۳۳ | ۴۰ | ۴ | ۱۵ | ۹/۰۱ | ۹/۶ |
| ۱۵ | ۱/۹ | ۰/۴۳۱ | ۶/۲۵ | ۲۳ | ۳۰ | ۱ | ۱۷ | ۴/۲۶ | ۴/۴ |
| ۱۶ | ۲/۷۴ | ۰/۶۳۰ | ۹/۱۲۵ | ۳۳ | ۲۰ | ۴ | ۱۳ | ۶/۴۹ | ۵/۹ |
| ۱۷ | ۲/۷۴ | ۰/۶۳۰ | ۹/۱۲۵ | ۳۳ | ۲۰ | ۱۰ | ۱۴ | ۳/۷۳ | ۲/۹ |
| ۱۸ | ۱/۹ | ۰/۴۳۱ | ۶/۲۵ | ۴۳ | ۳۰ | ۷ | ۲۲ | ۱۳/۱۳ | ۱۴/۱ |
| ۱۹ | ۲/۷۴ | ۰/۶۳۰ | ۹/۱۲۵ | ۳۳ | ۴۰ | ۱۰ | ۱۶ | ۸/۶۸ | ۷/۹ |
| ۲۰ | ۰/۰۱۵ | ۰/۰۳۴۵ | ۰/۵ | ۲۳ | ۳۰ | ۷ | ۲۳ | ۶/۳۷ | ۶/۱ |
| ۲۱ | ۱ | ۰/۲۲۳ | ۳/۳۷۵ | ۱۳ | ۲۰ | ۴ | ۱ | ۵/۹ | ۵/۳۵ |
| ۲۲ | ۱/۹ | ۰/۴۳۱ | ۶/۲۵ | ۲۳ | ۳۰ | ۷ | ۳۰ | ۴ | ۳/۵ |
| ۲۳ | ۱ | ۰/۲۲۳ | ۳/۳۷۵ | ۱۳ | ۲۰ | ۱۰ | ۲ | ۵/۴ | ۳/۴ |
| ۲۴ | ۱ | ۰/۲۲۳ | ۳/۳۷۵ | ۳۳ | ۲۰ | ۱۰ | ۶ | ۴/۲۵ | ۳/۴ |
| ۲۵ | ۱/۹ | ۰/۴۳۱ | ۶/۲۵ | ۲۳ | ۳۰ | ۷ | ۲۶ | ۳/۹۳ | ۴/۵ |
| ۲۶ | ۱ | ۰/۲۲۳ | ۳/۳۷۵ | ۳۳ | ۲۰ | ۴ | ۵ | ۳/۹۳ | ۳/۳ |
| ۲۷ | ۲/۷۴ | ۰/۶۳۰ | ۹/۱۲۵ | ۱۳ | ۴۰ | ۴ | ۱۱ | ۳/۹۳ | ۳/۴ |
| ۲۸ | ۱/۹ | ۰/۴۳۱ | ۶/۲۵ | ۲۳ | ۱۰ | ۷ | ۱۹ | ۳/۹۳ | ۳/۸ |
| ۲۹ | ۱/۹ | ۰/۴۳۱ | ۶/۲۵ | ۳ | ۳۰ | ۷ | ۲۱ | ۳/۹۳ | ۳/۶ |
| ۳۰ | ۱/۹ | ۰/۴۳۱ | ۶/۲۵ | ۲۳ | ۳۰ | ۷ | ۲۸ | ۳/۹۳ | ۱/۴ |

۵ درجه سانتی گراد نگهداری شده و بعد از تکمیل واکنش، نیتریت اضافی با اسید سولفامیک خنثی گردید. در یک بشر دیگر، ۰/۵ گرم کربن سیاه توزین شده و در ۵۰ میلی لیتر آب مقطر به مدت معین (مطابق جدول ۲) جهت پخش شدن ذرات کربن سیاه در حمام فراصوت قرار داده شد. محلول دی آزو نیم آماده شده تحت pH و دمای مشخص مطابق جدول ۲ به آهستگی به محلول پخش شده کربن سیاه اضافه گردید و بعد از ۳ ساعت همزدن توسط همزن مغناطیسی، سانتریفیوژ گردید. نهایتاً رسوبات حاصل بعد از سه مرتبه شستشو با آب مقطر، در آون، تحت دمای ۸۰ درجه سانتی گراد خشک شدند.

۲-۴-۲-آنالیز مقاومت سنجی کربن سیاه بدون اصلاح و کربن سیاه اصلاح شده
جهت اندازه گیری مقاومت الکتریکی مخلوط آبی کربن سیاه خام و نمونه های اصلاح شده، ابتدا بعد از سانتریفیوژ، رسوبات با آب ۳ مرتبه شستشو شد و سپس در آون تحت دمای ۸۰ درجه سانتی گراد خشک شد. در مرحله بعد، ۰/۱ گرم نمونه خشک شده در ۱۰ میلی لیتر آب پخش شده و به مدت ۱۵ دقیقه تحت فراصوت قرار گرفت. بعد از فراصوت به وسیله دستگاه مقاومت سنج، مقدار مقاومت توسط الکتروودها در فواصل یکسان و ثابت اندازه گیری شد.

^۱ Dynamic light scattering

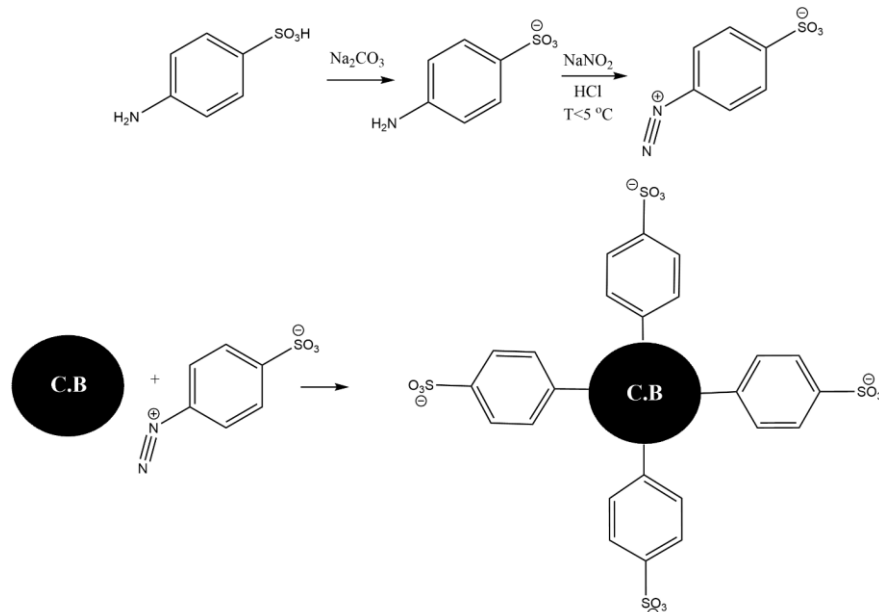
۲-۳-تجهیزات آزمایشگاهی

برای بررسی اندازه ذرات از دستگاه پراش نور دینامیکی^۱ ساخت شرکت Malvern استفاده گردید. تست های FTIR با دستگاه Bruker آلمان VECTOR22 اخذ گردیدند. آنالیز حرارتی نمونه های اصلاح شده با دستگاه Mattler Toledo، TGA/SDTA851e ساخت سوئیس مورد ارزیابی قرار گرفت. آنالیز هدایت سنجی با دستگاه Victor 86D انجام پذیرفت. کلیه وزن سنجی ها با ترازوی ۵ رقم MSE306P00.DM ساخت شرکت Sartorius آلمان، انجام گرفت.

۲-۴-روش کار

۲-۴-۱-روش اصلاح رنگدانه کربن سیاه

مطابق شکل (۲)، جهت اصلاح سطح رنگدانه کربن سیاه، ابتدا مقدار های مشخصی از اسید سولفانیلیک (جدول ۲) به ۵ میلی لیتر آب مقطر اضافه و حین همزدن جهت تسهیل در حل شدن اسید سولفانیلیک، کربنات سدیم تا pH=۷ اضافه شد تا ماده مذکور به طور کامل حل شود. سپس مقدار مشخصی سدیم نیتریت (جدول ۲) به محلول اسید سولفانیلیک اضافه شد. محلول حاصل در داخل حمام یخ قرار گرفت تا دمای آن زیر ۵ درجه سانتی گراد برسد. سپس مطابق جدول ۲، حجم معینی از اسید هیدروکلریک به صورت قطره قطره به ترکیب اضافه شد. در طی فرآیند دی آزو تاسیون و بعد از اتمام آن، جهت بررسی وجود نیتریت کافی در محلول، از کاغذ نشاسته استفاده شد. محلول حاصل به مدت ۱ ساعت در دمای زیر



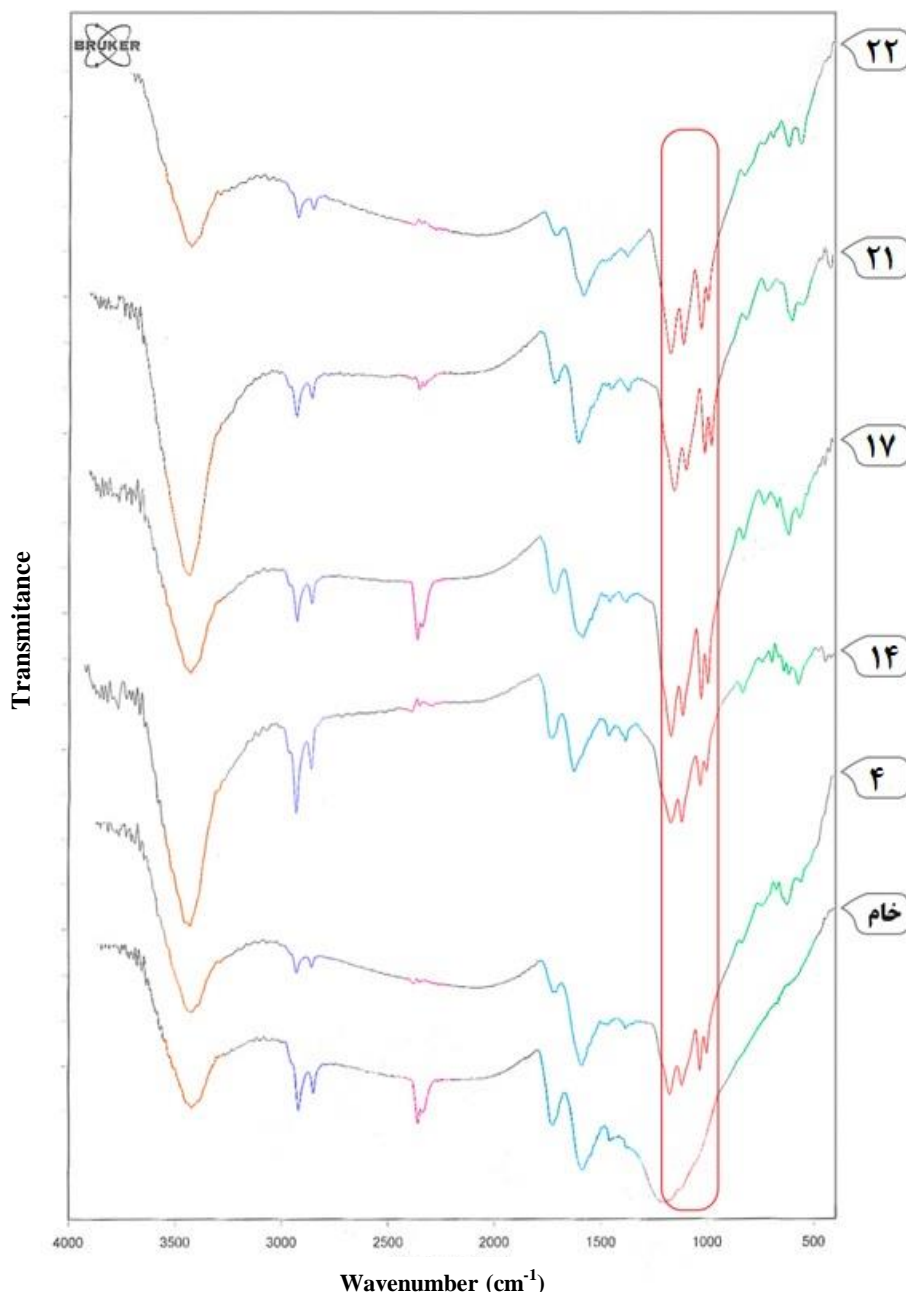
شکل ۲: سازو کار اصلاح سطح ذرات کربن سیاه.

Figure 2: The surface modification mechanism of carbon black particles.

محدوده $3635\text{-}3423\text{ cm}^{-1}$ ایجاد شده است که به ارتعاش کششی OH فنولی اختصاص دارد. پیک مشاهده شده در محدوده $2921\text{-}2851\text{ cm}^{-1}$ مربوط به OH کششی گروه اسید کربوکسیلیک می باشد [۲۰]. یک پیک ضعیف در طول موج 2260 cm^{-1} مربوط به CO_2 می باشد [۲۱]. یک پیک C=O کششی گروه اسید کربوکسیلیک تعلق دارد. پیک های 1724 cm^{-1} به C=O کششی گروه اسید کربوکسیلیک تعلق دارد. آروماتیکی و C-O کششی می باشد [۲۲، ۲۳].

۳- نتایج و بحث

۱-۱- مشخصه یابی کربن سیاه اصلاح شده
جهت بررسی صحت اصلاح و اثر آن بر خواص رنگدانه، طیف FTIR و آنالیز DLS، زتا پتانسیل و آنالیز حرارتی از رنگدانه های اصلاح شده انجام گرفت که در زیر به بررسی نتایج بدست آمده پرداخته می شود. شکل ۳ طیف FTIR را برای کربن سیاه خام و کربن سیاه اصلاح شده (نمونه های ۴-۱۴-۱۷-۲۱-۲۲ نشان می دهد. در این طیف، یک پیک نسبتاً پهن در



شکل ۳: طیف FTIR کربن سیاه خام و نمونه های (۲۲-۲۱-۱۷-۱۴-۴) مربوط به کربن سیاه اصلاح شده.

Figure 3: FTIR spectrum of raw carbon black and modified samples (4-14-17-21-22).

دماهی ۳۵۰-۳۰۰ درجه سانتی گراد است و در این محدوده در نمونه های اصلاح شده کاهش وزن محسوسی قابل مشاهده نیست بنابراین، گروه سولفونه در آن دما تخریب نشده و همراه با کربن سیاه تخریب می شود. همچنین می توان نتیجه گرفت که گروه سولفونه مقاومت حرارتی کربن سیاه را کاهش نمی دهد و تاثیری بر مقاومت حرارتی کربن سیاه ایجاد نمی کند [۲۶]. بنابراین اصلاح رنگدانه کربن سیاه به روش مذکور مقاومت حرارتی این رنگدانه را به طور قابل توجهی کاهش نداده و می توان از آن در کاربردهایی که نیاز به دمای بالا دارند، استفاده نمود.

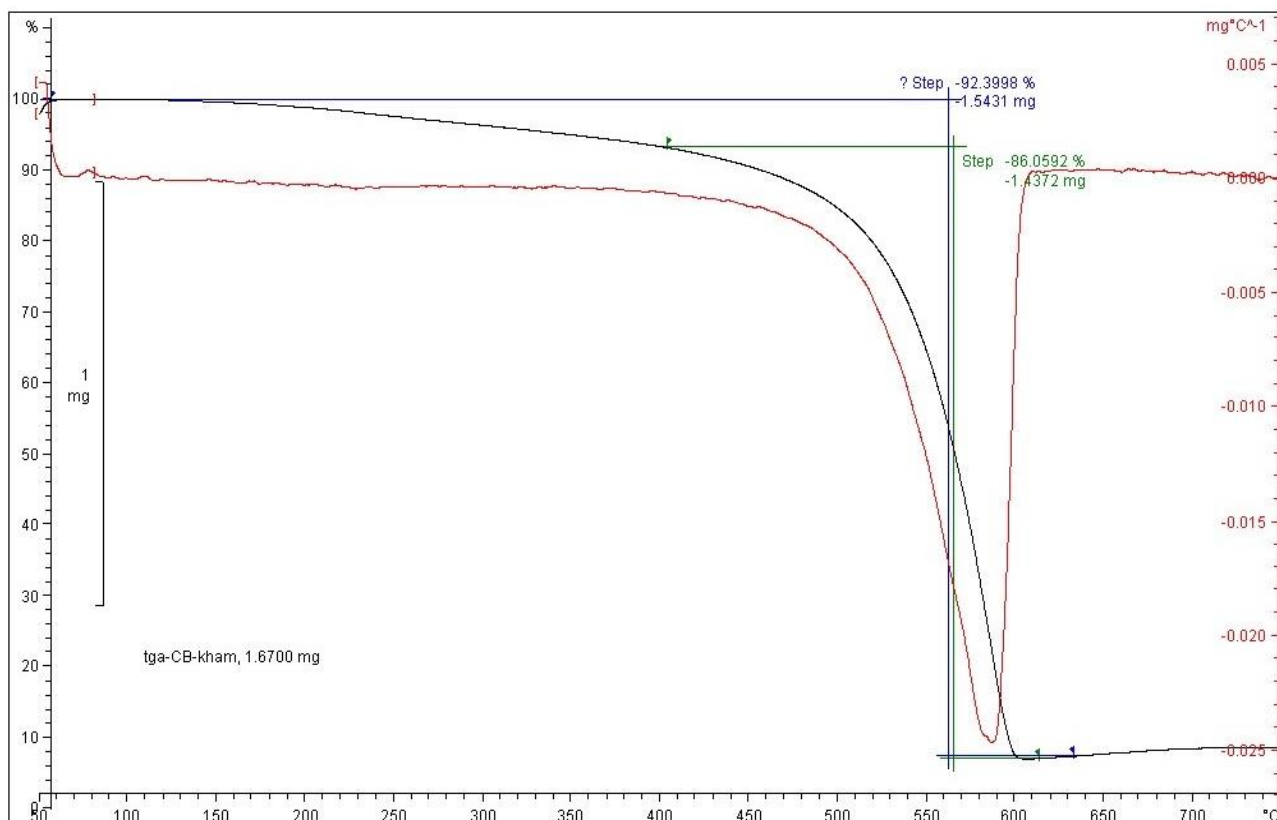
۳-۳- آنالیز DLS و پتانسیل زتا برای کربن سیاه بدون اصلاح و کربن سیاه اصلاح شده

جهت تجزیه و تحلیل تعیین اندازه ذرات و توزیع ذرات در محیط مایع و همچنین اندازه گیری میزان بار سطحی ذرات، از روش پراکندگی نور دینامیکی و پتانسیل زتا استفاده شد. تفاوت قابل توجهی در توزیع اندازه ذرات هیدرودینامیکی کربن سیاه خام و کربن سیاه اصلاح شده وجود دارد. نتایج آنالیز DLS در شکل ۶ آورده شده است.

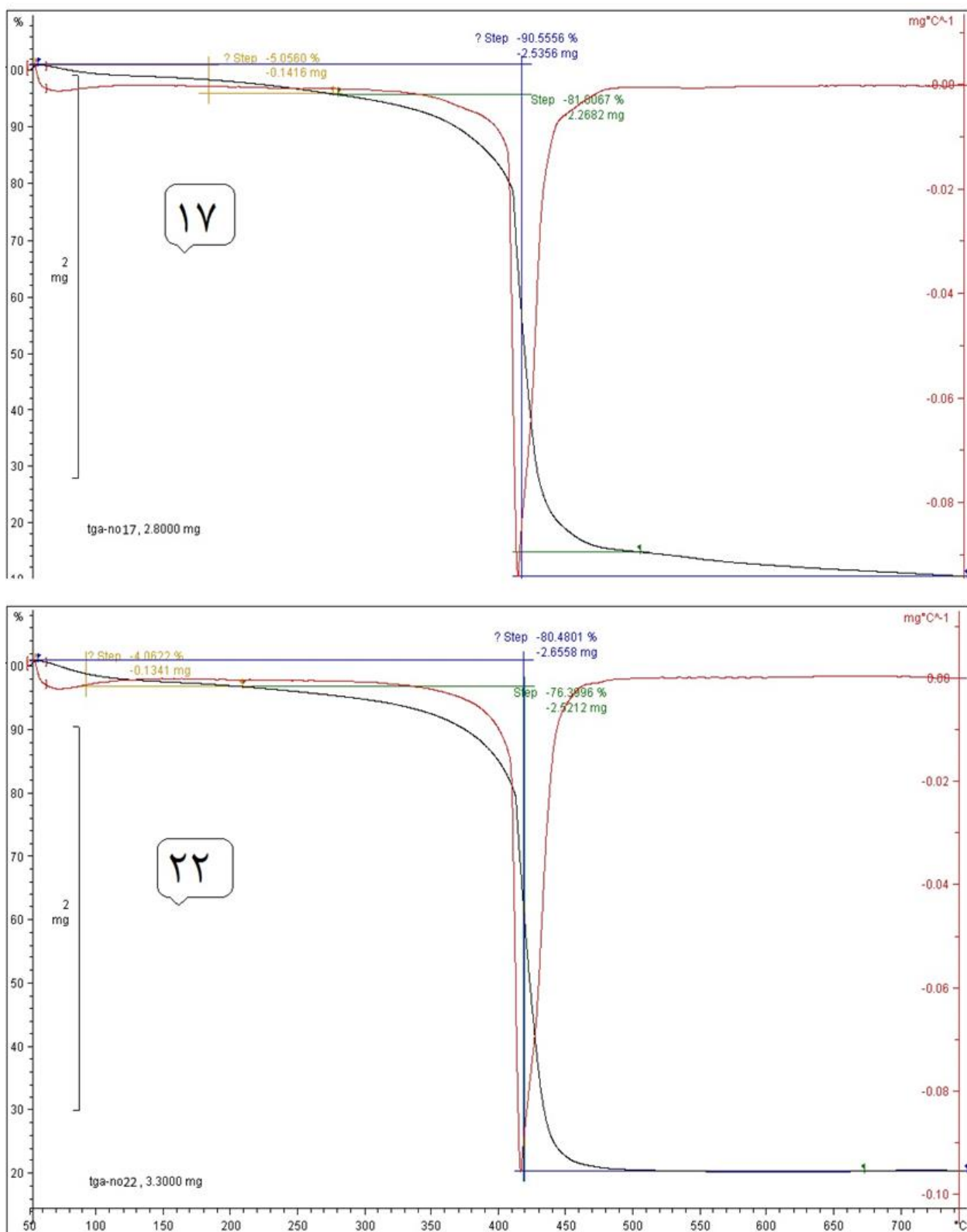
پیک های جدیدی در کربن سیاه اصلاح شده، پدید آمده که وجه تمايز کربن سیاه اصلاح شده با کربن سیاه خام هست. پیک های C-S و S-O تعلق ۱۰۴۰-۱۰۳۴ cm⁻¹ به ترتیب به ارتعاشات کششی C-S و S-O ۱۱۷۳-۱۱۲۳ cm⁻¹ دارند. همچنین پیک های ۸۳۴-۶۱۷ cm⁻¹ به ارتعاشات کششی و خمثی متقارن و نامتقارن S=O گروه سولفونه مربوط می باشد که نشان دهنده تشکیل پیوند کوالانسی اسید سولفانیلیک بر روی کربن سیاه هست [۲۴، ۲۵]. مجموعه این پیک ها موید اصلاح رنگدانه کربن سیاه توسط اسید سولفانیلیک دی آزوته شده می باشد.

۴-۲- آنالیز TGA/DTG کربن سیاه خام و کربن سیاه اصلاح شده

شکل ۴ کاهش وزن کربن سیاه خام و شکل ۵ کاهش وزن نمونه های اصلاح شده ۷ و ۱۲ را نشان می دهد. محدوده دماهی تخریب کربن سیاه خام بین ۴۰۰-۶۰۰ درجه سانتی گراد می باشد. مطابق شکل ۵ کاهش وزن حدود ۵ درصد تا دمای زیر ۲۰۰ درجه سانتی گراد، به تغییر آب سطحی ذرات نسبت داده شده است. با توجه به اینکه، تخریب حرارتی گروه سولفونه بین محدوده

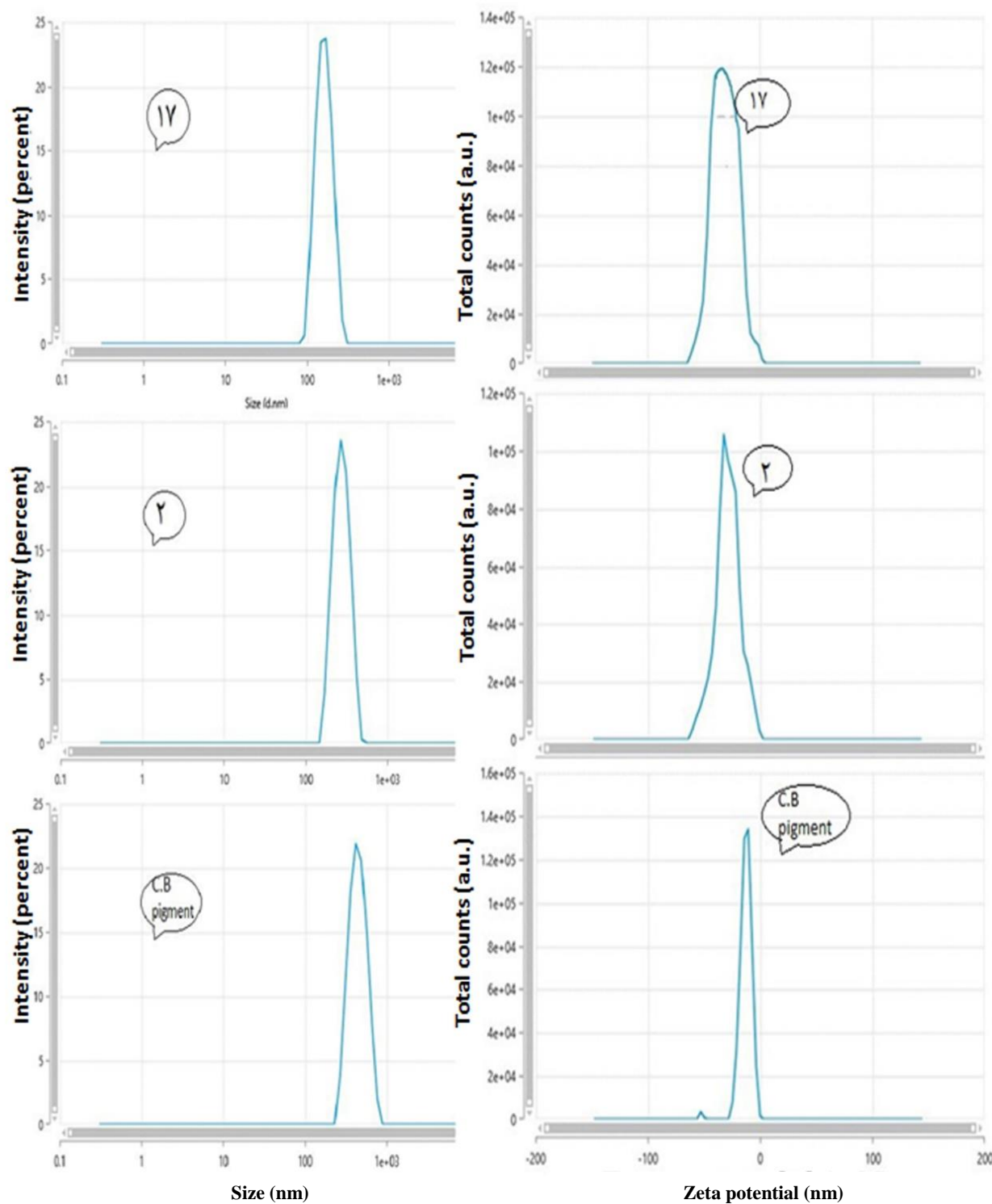


شکل ۴: آنالیز TGA/DTG کربن سیاه خام.
Figure 4: TGA/DTG analysis of raw carbon black.



شکل ۵: آنالیز TGA/DTG نمونه های اصلاح شده ۱۷ و ۲۲ به عنوان نماینده رنگدانه های اصلاح شده.

Figure 5: TGA/DTG analysis of modified samples (17 and 22) as representative samples.



شکل ۶: نتایج انالیز DLS و پتانسیل زتا مربوط به نمونه های کربن سیاه بدون اصلاح و نمونه های اصلاح شده ۲ و ۱۷.

Figure 6: DLS and zeta potential of unmodified carbon black and modified samples (2 and 17).

کاهش یافته است. مطابق شکل (۶)، پتانسیل زتا برای ذرات کربن سیاه بدون اصلاح، -70.6 mV - گزارش شده است. برای نمونه های اصلاح شده (۲) و (۱۷)، پتانسیل زتا به ترتیب -25 mV و -43 mV

مطابق انتظار اندازه بیشتر ذرات کربن سیاه بدون اصلاح حدود $(420 \pm 50 \text{ nm})$ می باشد. در نمونه های اصلاح شده (۲) و (۱۷) سایز ذرات به ترتیب به $(267 \pm 40 \text{ nm})$ و $(146 \pm 20 \text{ nm})$

گردید که نتایج حاصله از ANOVA (که توسط نرم افزار Minitab بدست آمدند) در جدول ۳ ارائه شده است. اهمیت و معنی دار بودن مدل درجه دوم با چهار معیار آزمون نسبت های فیشر^۱ (آزمون F)، آزمون میران دقت مدل (LOF)، ضرایب R^2 و (Adj.) R^2 و همچنین آنالیز باقیمانده ها مورد ارزیابی قرار گرفت. در مدل پیشنهاد شده مقدار F تجربی محاسبه شده برای رگرسیون مدل (سطر اول از جدول ۳) بسیار بزرگ تر از مقدار بحرانی آن ($2/352$) در سطح اطمینان ۹۵ درصد می باشد، که موید معنی دار بودن مدل است [۲۷]. همچنین مقدار P مربوطه نیز، کوچک تر از $0/05$ (در سطح اطمینان ۹۵ درصد) می باشد که تاییدی بر مناسب بودن مدل برای پیش بینی نتایج تجربی است.

معیار بعدی جهت ارزیابی معنی دار بودن و دقت مدل، آزمون LOF (عدم برازش) می باشد. این آزمون براساس مقایسه باقیمانده ها با خطای مطلق بدست آمده از تکرار آزمایش ها معین می شود در حالی که تمام عوامل در سطوح مرکزی (0) بودند.

¹ Analysis of variance

² Fishers variance ratio test

می باشد. مطابق انتظار میزان بار منفی در نمونه هی اصلاح شده (۲) بیشتر از کربن سیاه بدون اصلاح است و همچنین بار منفی در نمونه هی (۱۷) نسبت به نمونه هی (۲) افزایش یافته است که نشان دهنده افزایش پایداری پراکنده ای نمونه های اصلاح شده به خاطر دافعه الکتروستاتیکی نسبت به کربن سیاه بدون اصلاح است.

۴-۳- توسعه مدل با استفاده از روش RSM برای تعیین میزان مقاومت با استفاده از فرآیند اصلاح کربن سیاه از مدل رویه پاسخ چند جمله ای درجه دوم به منظور پردازش نتایج تجربی حاصل از طرح CCD و مدل سازی فرآیند استفاده شد. مدل بدست آمده در رابطه ۱ گزارش شده است.

$$Y = 3.93 + 3.01 \text{pH} - 0.56t - 0.47T - 0.27[\text{DIAZO}] + 1.45 \text{pH}^2 + 0.9t^2 + 0.23T^2 + 0.23[\text{DIAZO}]^2 - 0.6(\text{pH} \times t) - 0.46(\text{pH} \times T) - 0.9(\text{pH} \times [\text{DIAZO}]) - 0.11(t \times T) + 0.05(t \times [\text{DIAZO}]) - 0.013(T \times [\text{DIAZO}]) \quad (1)$$

نتایج پیش بینی شده و تجربی مقاومت، در جدول ۲ ارائه شده است. مقدار اهمیت و معنی دار بودن مدل و همچنین میزان دقت آن در پیش بینی نتایج توسط تحلیل واریانس^۱ (ANOVA) ارزیابی

جدول ۳: تحلیل واریانس جهت ارزیابی مدل های پیشنهاد شده توسط RSM

Table 3: Variance analysis to evaluate the RSM proposed models.

| منبع | درجه آزادی | نتایج تست ANOVA جهت ارزیابی مدل پیشنهادی | | | |
|----------------|------------|--|----------|--------|--------|
| | | P-value | F- value | Adj-ms | SS |
| Model | ۱۴ | <0/0001 | ۴۳/۷۷ | ۲۴/۵۳ | ۳۴۳/۴۶ |
| pH-A | ۱ | -<0/0001 | ۴۱۰/۳۵ | ۲۳۰/۰۲ | ۲۳۰/۰۲ |
| Time-B | ۱ | ۰/۰۰۱۸ | ۱۴/۳۶ | ۸/۰۵ | ۸/۰۵ |
| T-C | ۱ | ۰/۰۰۷۲ | ۶۶.۹ | ۴۲.۵ | ۵/۴۲ |
| Diazo-D | ۱ | ۰/۰۷۹۵ | ۳/۵۴ | ۱/۹۸ | ۱/۹۸ |
| AB | ۱ | ۰/۰۰۴۸ | ۱۰/۹۳ | ۶/۱۳ | ۶/۱۳ |
| AC | ۱ | ۰/۰۳۵۹ | ۵/۳۱ | ۲/۹۸ | ۲/۹۸ |
| AD | ۱ | ۰/۰۰۰۲ | ۲۴/۷۵ | ۱۳/۸۸ | ۱۳/۸۸ |
| BC | ۱ | ۰/۶۲۳۷ | ۰/۲۵ | ۰/۱۴ | ۰/۱۴ |
| BD | ۱ | ۰/۸۶۹۶ | ۰/۰۲۸ | ۰/۰۱۶ | ۰/۰۱۶ |
| CD | ۱ | ۰/۸۶۹۶ | ۰/۰۲۸ | ۰/۰۱۶ | ۰/۰۱۶ |
| A ² | ۱ | <0/0001 | ۱۰۰/۷۹ | ۶۱/۵۴ | ۶۱/۵۴ |
| B ² | ۱ | <0/0001 | ۳۹/۴۵ | ۲۲/۱۱ | ۲۲/۱۱ |
| C ² | ۱ | ۰/۰۹۵۷ | ۳/۱۶ | ۱/۷۷ | ۱/۷۷ |
| D ² | ۱ | ۰/۱۳۹۸ | ۲/۴۳ | ۱/۳۶ | ۱/۳۶ |
| باقی مانده | ۱۵ | - | - | ۰/۵۶ | ۸/۴۱ |
| عدم برازش | ۱۰ | ۰/۰۸۲۹ | ۳/۶۵ | ۰/۷۴ | ۷/۳۹ |
| خطای مطلق | ۵ | - | - | ۰/۲۰ | ۱/۰۱ |
| مجموع | ۲۹ | - | - | - | ۳۵۱/۸۷ |

دارد (۱۵٪). همچنین برهم کنش (pH₂-Diazo) و مجدد زمان نیز دارای تاثیر نسبی در مدل هستند.

۲-۴-۳- تحلیل نمودارهای رویه پاسخ و مقایسه عوامل موثر
بعد از ارزیابی مدل و اطمینان از پیش بینی صحیح این مدل، به بررسی اثر عوامل pH، دمای واکنش، مقدار اصلاح کننده و زمان فراصوت بر روی میزان اصلاح سطحی رنگدانه‌های کربن سیاه و نتیجه بخشی این اصلاح پرداخته می‌شود. شکل ۹ اثر عوامل مذکور را در رویه‌های مختلف نشان می‌دهد.

۲-۴-۳-۱- تاثیر pH و مدت زمان فراصوت در کارایی فرآیند اصلاح سطح کربن سیاه

شکل ۹ (قسمت a)، تاثیر pH و مدت زمان فراصوت را در سطوح مرکزی یعنی دمای (۲۳ درجه سانتی‌گراد) و مقدار اصلاح کننده (۶/۲۵ mmol) در فرآیند اصلاح سطح کربن سیاه را نشان می‌دهد. همانطور که مشاهده می‌شود، با افزایش pH از شرایط اسیدی به خنثی تغییرات مقاومت کم است ولی با افزایش pH از محیط خنثی به محیط بازی شبیه تغییرات مقاومت افزایش می‌یابد. در نتیجه می‌توان استباط نمود که pHهای اسیدی و خنثی، جهت اصلاح سطح رنگدانه کربن سیاه مناسب‌تر از pHهای بازی عمل می‌کنند. دلیل این امر ممکن است با نقش یون هیدروکسید در واکنش با نمک دی آزونیم در ارتباط باشد. چون در pHهای بازی، به خصوص بالاتر از ۱۰، یون هیدروکسید می‌تواند به عامل دی آزو حمله کرده و با تشکیل پیوند، مولکول سین دی آزوتات تشکیل گردد که در این صورت، واکنش نمک دی آزونیم را با کربن سیاه دشوار می‌سازد. در نتیجه باعث کاهش چگالی بار مثبت بر روی گروه دی آزو شده و مانع ترک شوندگی آن می‌شود. بنابراین کمترین مقدار مقاومت مطابق شکل ۷، در pH حدود ۴ و زمان فراصوت حدود ۲۵ دقیقه می‌باشد.

۲-۴-۳-۲- تاثیر pH و دما در کارایی فرآیند اصلاح سطح کربن سیاه

شکل ۹ (قسمت b) منحنی رویه پاسخ تاثیر pH و دما را در سطوح مرکزی زمان فراصوت (۳۰ min) و مقدار اصلاح کننده (۶/۲۵ mmol) نشان می‌دهد. همانطور که نتایج تحلیل پارتو نیز نشان داده بودند، pH تاثیر بسزایی در کارایی فرآیند اصلاح سطح کربن سیاه دارد. در نمودار رویه پاسخ حاصل نیز، این تاثیر کاملاً مشهود است. با افزایش pH از شرایط خنثی به شرایط بازی میزان مقاومت به طور قابل توجهی افزایش پیدا می‌کند که دلیل آن در بخش قبل ذکر شد. در حالی که تاثیر تغییرات دما روی مقاومت به اندازه pH محسوس نیست.

اگر مقدار F تجربی کوچک‌تر از F بحرانی باشد و یا مقدار P مربوطه بزرگ‌تر از عدد ۰/۰۵ (در سطح اطمینان ۹۵ درصد) باشد در این حالت مدل پیشنهادی معنی‌دار می‌باشد. بر اساس نتایج حاصل از آنالیز ANOVA مقدار F تجربی برابر با ۳/۶۵ بود که کوچک‌تر از مقدار بحرانی آن یعنی ۴/۰۶ در سطح اطمینان ۹۵ درصد می‌باشد. این نتیجه بیانگر معنی‌دار بودن LOF می‌باشد. به عبارت دیگر مدل دارای ترم‌های کافی بوده و فاکتورهای موثر مناسب در نظر گرفته شده‌اند. براساس نتایج ارائه شده در جدول ۳ مقدار P آزمون LOF برابر ۰/۸۲۹ می‌باشد. بنابراین در مدل‌های ارائه شده برای این فرآیند، LOF بی‌معنی بوده و مدل‌ها از دقت مناسب در پیش‌بینی نتایج برخوردار می‌باشند. ضرایب تعیین R^2 و (Adj) R^2 به ترتیب برابر ۰/۹۷۶۱ و ۰/۹۵۳۸ بودند. براساس منابع، مقادیر R بزرگ‌تر از

۰/۰۷۶۱ درصد معمولاً مovid مناسب بودن پیش‌بینی مدل می‌باشد.

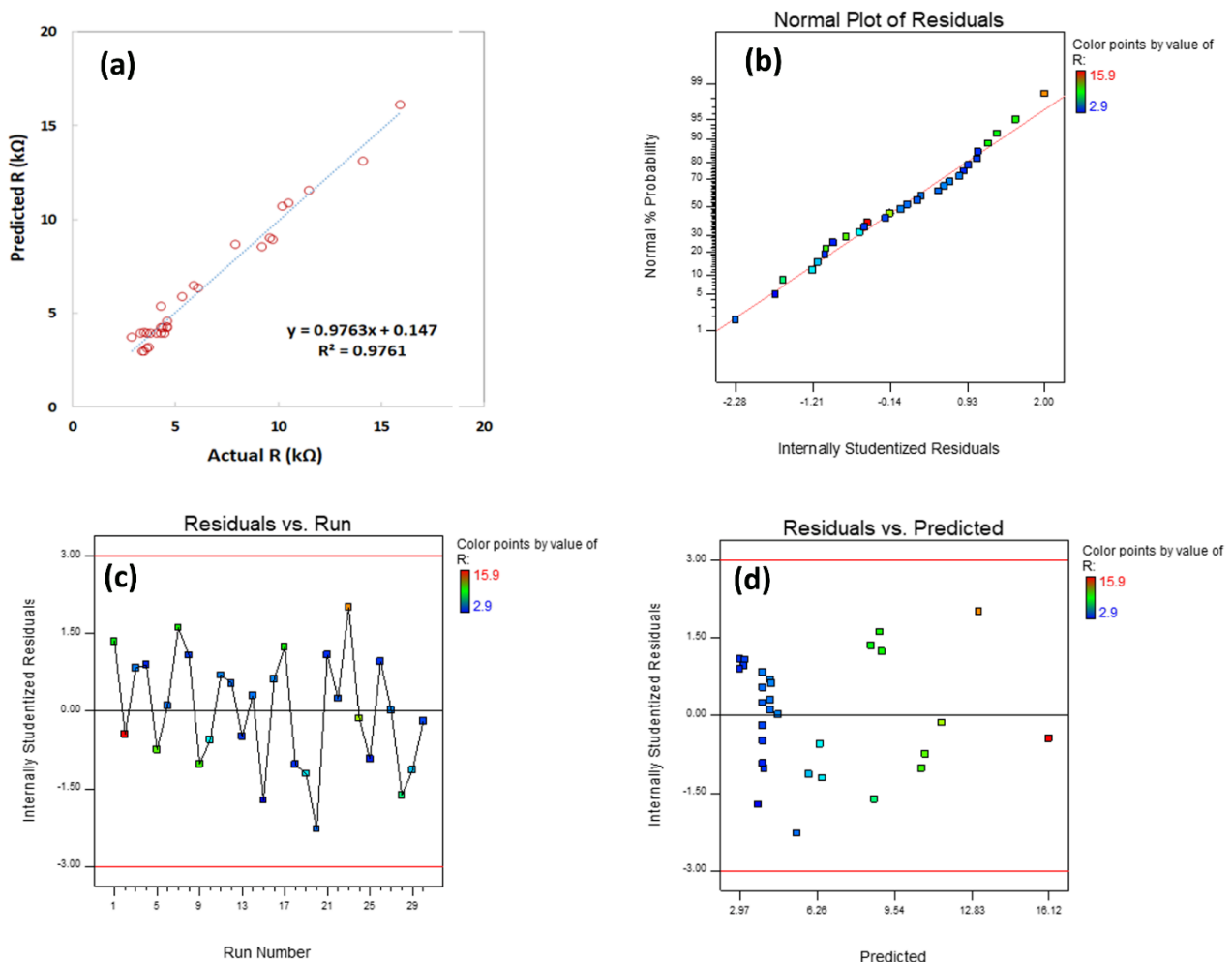
مقایسه نتایج مقاومت تجربی برای ۳۰ آزمایش طراحی شده و مقادیر پیش‌بینی شده توسط مدل (شکل ۷) نشان داد که مقدار ضریب همبستگی^۱ برای اصلاح سطح کربن سیاه برابر با ۰/۹۷۶۱ می‌باشد که نشان دهنده تطابق مناسب داده‌های تجربی و پیش‌بینی شده است. علاوه بر معیارهای ذکر شده، تحلیل باقی‌مانده‌ها (اختلاف بین پاسخ‌های تجربی و پیش‌بینی شده) می‌تواند به صورت گرافیکی معیاری از توانایی برآراش مدل باشد. اگر مدل پیشنهادی یک پیش‌بینی کننده مناسب باشد، باید باقی‌مانده‌ها از توزیع نرمال تبعیت کنند. توسط نرم افزار Minitab سه نمودار با عنوان کلی نمودارهای باقی‌مانده‌ها می‌توان رسم نمود که هر سه نمودار تقریباً مقاهمی یکسانی را ارائه می‌کنند. اگر باقی‌مانده‌ها از توزیع نرمال تبعیت نمایند نقاط موجود در شکل ۷ (b) باید تشکیل یک خط راست بدeneند. همچنین اگر توزیع نرمال در مورد باقی‌مانده‌ها صادق باشد نقاط در شکل‌های ۷ (c) و (d) باید به صورت تصادفی در دو طرف خط صفر پخش شده باشند، بدون اینکه در یک طرف خط تجمع پیدا کنند و یا به سمت مقدار خاصی تمایل داشته باشند. بنابراین براساس این شکل‌ها باقی‌مانده‌ها به طور نرمال توزیع شده‌اند.

۳-۴-۱- تحلیل پارتو

تحلیل پارتو^۲ نیز می‌تواند جهت تعیین عوامل موثر مورد استفاده قرار گیرد. در این روش تاثیر هر عامل از طریق محاسبه درصد تاثیر هر عبارت در پاسخ پیش‌بینی شده تعیین می‌گردد [۲۸]. نتایج حاصل از تحلیل پارتو در شکل ۸ ارائه شده است. براساس نتایج حاصل در فرآیند اصلاح سطح ذرات کربن سیاه pH مهمترین عامل موثر در فرآیند می‌باشد (۶۴٪). بعد از pH، مجدد pH بیشترین تاثیر را

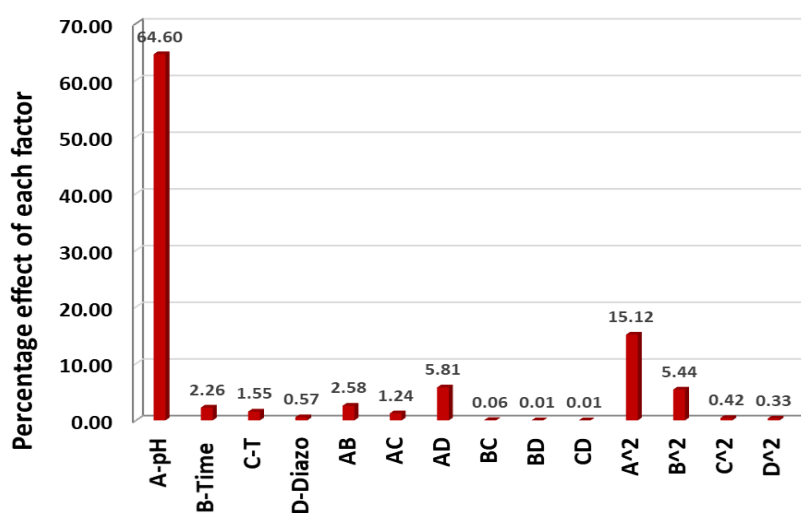
¹ Correlation Pareto coefficient

² Pareto



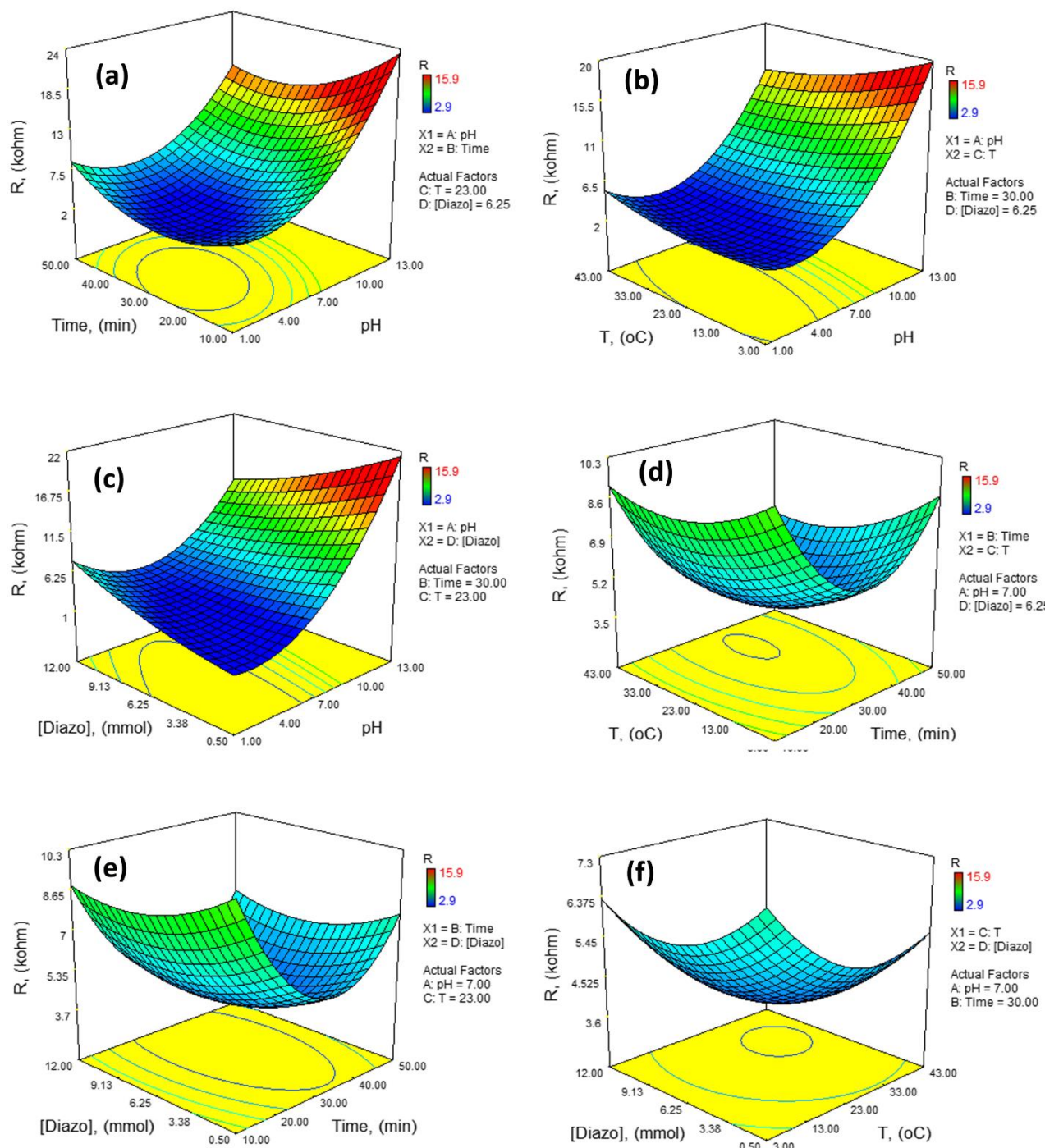
شکل ۷: (a) مقایسه نتایج مقاومت تجربی و محاسبه شده توسط مدل برای فرآیند اصلاح سطح کربن سیاه، (b) منحنی احتمال نرمال باقیماندها، (c) منحنی های باقیماندها و (d) نمودار باقیماندها و مقادیر مقاومت پیش بینی شده.

Figure 7: a) Comparison of experimental and calculated resistance results for carbon black surface modification process, b) normal plot of residuals, c) residuals plot and d) plot of residuals and predicted resistances.



شکل ۸: نتایج حاصل از تحلیل پارتون.

Figure 8: The results of Pareto analysis.



شکل ۹: نمودار سه بعدی تغییرات مقاومت بر حسب (a) pH و مدت زمان فرآصوت، (b) pH و دما، (c) pH و مقدار اصلاح کننده، (d) دما و زمان فرآصوت، (e) مقدار اصلاح کننده و زمان فرآصوت. (f) مقدار اصلاح کننده و دما

Figure 9: 3D plot of resistance changes versus (a) pH and ultrasonic time, (b) pH and temperature, (c) pH and amount of modifier, (d) temperature and ultrasonic time, (e) amount of modifier and temperature and (f) amount of modifier and ultrasonic time.

پایداری نمک دی آزونیم در دماهای پائین تر باشد. در دماهای بالا، نمک دی آزونیم با تخریب و آزاد سازی گاز نیتروژن با سرعت بالا، امکان اصلاح را تا حدودی کاهش می دهد.

مطابق این شکل، کمترین میزان مقاومت در pH حوالی ۴ و دماهای زیر ۳۰ درجه سانتی گراد می باشد. هرچه دما کاهش می یابد، مقاومت الکتریکی بدست آمده کوچک تر می گردد. هر چند شب تغییرات مقاومت با دما بسیار کم می باشد. دلیل این امر می تواند در ارتباط با

مقاومت مطابق شکل (۱۱)، در زمان فراصوت (۳۰ دقیقه) و مقدار اصلاح کننده (۶/۲۵ mmol) می باشد. یعنی در زمان های بالاتر و پایین تر مقدار مقاومت بیشتر می شود.

۳-۴-۶-۲-۴-۳- تاثیر دما و مقدار اصلاح کننده دی آزو در کارابی فرآیند اصلاح سطح کربن سیاه
مطابق شکل ۹ (قسمت f)، در pH (۷) و زمان فراصوت (۳۰ دقیقه) کمترین میزان مقاومت در دماهای بالا می باشد که به دلیل احتمالی این مشاهده قبلا اشاره گردید. همچنین، با افزایش و کاهش مقدار اصلاح کننده دی آزو از (۸ mmol)، میزان مقاومت افزایش پیدا می کند.

۳-۵- مقایسه نتیجه تجربی با نتیجه پیش بینی شده توسط روش RSM

مقدار بهینه عوامل موثر، همچنین مقدار مقاومت پیش بینی شده و تجربی در این شرایط برای فرآیند اصلاح سطح کربن سیاه در جدول ۴ ارائه شده است. جهت تایید مقادیر بهینه پیش بینی شده عوامل موثر، آزمایش تجربی در همان شرایط پیشنهاد شده توسط روش RSM (جدول ۴) انجام شده و مقدار مقاومت بدست آمد. نتیجه حاصل نشان داد که مقدار تجربی مطابقت مناسبی با مقادیر پیش بینی شده داشت. جهت ارزیابی کارکرد محصول اصلاح شده در محیط آبی، محصول اصلاح شده پخش شده در محیط آبی به همراه یک نمونه خام مخلوط شده با آب و نمونه خام فراصوت شده در شرایط کاملا یکسان تهیه شده و مخلوط حاصل در یک جای ثابت و بدون لرزش قرار گرفت. شکل ۱۰ نتایج این بررسی را نشان می دهد. همانگونه که ملاحظه می گردد، نمونه ۱ (خام همزده) در همان روز اول تهشیش شده است در حالی که نمونه خام فراصوت شده می تواند به مدت ۴۸ ساعت به صورت پخش شده باقی بماند. به هر حال، این نمونه نیز در روز سوم دچار ته نشیمنی می شود. نکته جالب در این زمینه، عمر پخش نمونه اصلاح شده می باشد. با وجود اینکه هیچ گونه افزودنی دیگری به مخلوط نمونه اصلاح شده اضافه نگردیده است، باز هم این نمونه حتی بعد از گذشت ۸ ماه نیز کاملا به صورت پراکنده بوده و دچار هیچ گونه ته نشیمنی نشده است. این امر بیانگر کارکرد بالای روش استفاده شده جهت اصلاح سطحی رنگدانه های کربن سیاه می باشد.

۳-۴-۳-۲-۳- تاثیر pH و مقدار اصلاح کننده دی آزو در کارابی فرآیند اصلاح سطح کربن سیاه

شکل ۹ (قسمت C) منحنی رویه پاسخ تاثیر pH و مقدار اصلاح کننده دی آزو را در سطح مرکزی زمان (۳۰ دقیقه) و دما (۲۳ درجه سانتی گراد) برای فرآیند اصلاح سطح کربن سیاه نشان می دهد. مطابق نتایج تحلیل پارتو، pH تاثیر بسزایی در کارابی فرآیند اصلاح سطح کربن سیاه دارد. با افزایش pH و مقدار اصلاح کننده دی آزو میزان مقاومت افزایش پیدا می کند. مطابق شکل ۹، بهترین شرایط و کمترین میزان مقاومت در مقادیر اصلاح کننده پایین و pH های اسیدی می باشد.

۳-۴-۲-۴- تاثیر زمان فراصوت و دما در کارابی فرآیند اصلاح سطح کربن سیاه

شکل ۹ (قسمت d) منحنی رویه پاسخ تاثیر زمان فراصوت و دما را در pH (۷) و مقدار اصلاح کننده (۶/۲۵ mmol) برای فرآیند اصلاح سطح کربن سیاه نشان می دهد. مطابق شکل، زمان فراصوت در فرآیند اصلاح سطح کربن سیاه تاثیر بسزایی دارد و تاثیر تغییرات دما بصورت جزئی است. در دماهای پایین، انرژی کافی جهت ترک گروه دی آزو وجود ندارد و لذا واکنش با سرعت پایین پیش می رود. ولی در دماهای بالا مقدار انرژی مولکول ها و جنب و جوش مولکول ها بالا می رود و سرعت تخریب نمک دی آزنیم افزایش می یابد. طبق نتایج بدست آمده از این رویه، مقادیر دمای حوالی ۳۰ درجه سانتی گراد، کمترین مقدار مقاومت نشان می دهد. زمان اعمال امواج فراصوت نیز تاثیر قابل توجهی بر روی میزان اصلاح دارد. اعمال مناسب بازه زمانی فراصوت، سبب جداسازی دانه های به هم چسبیده و در نتیجه در دسترس قرار گرفتن سطح ذرات جهت اصلاح می گردد. در نتیجه، طبق رویه پاسخ مذکور، زمان فراصوت حوالی ۳۰ دقیقه می تواند بازه زمانی مناسب تلقی گردد.

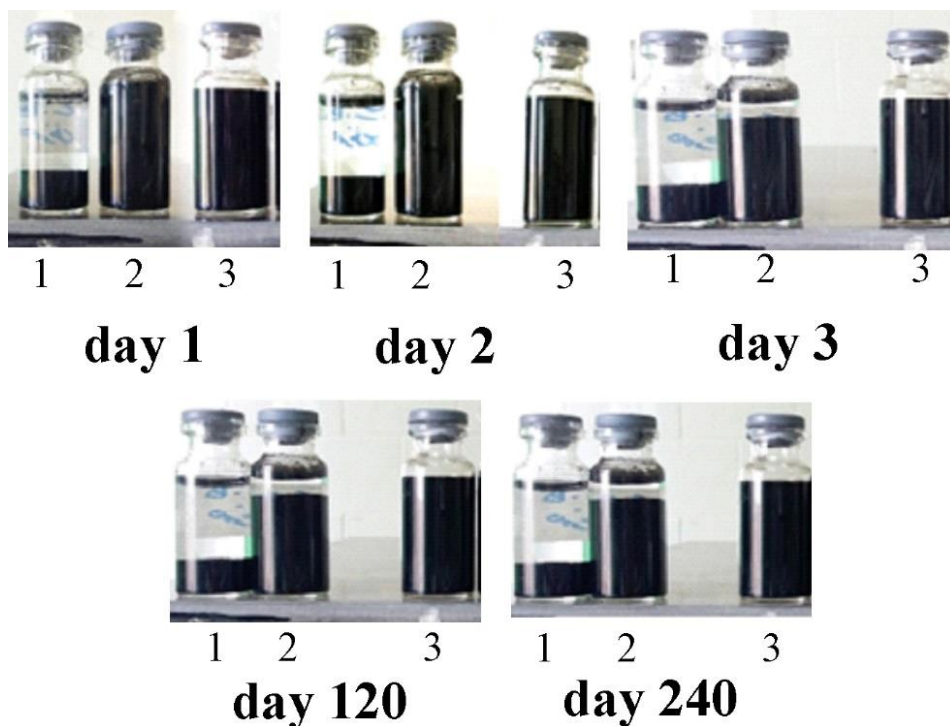
۳-۴-۳-۵- تاثیر زمان فراصوت و مقدار اصلاح کننده دی آزو در کارابی فرآیند اصلاح سطح کربن سیاه

شکل ۹ (قسمت e) منحنی رویه پاسخ تاثیر زمان فراصوت و مقدار اصلاح کننده دی آزو را در pH (۷) و دما (۲۳ درجه سانتی گراد) برای فرآیند اصلاح سطح کربن سیاه نشان می دهد. مطابق شکل، زمان فراصوت در فرآیند اصلاح سطح کربن سیاه موثر است. کمترین مقدار

جدول ۴: شرایط بهینه پیشنهادی توسط RSM جهت دستیابی به کمترین مقدار مقاومت.

Table 4: Optimal conditions suggested by RSM to achieve the lowest resistance value.

| مقادیر مقاومت (kΩ) | | شرایط بهینه | | | |
|--------------------|--------------|---------------------------|-----------------------|----------|------|
| تجربی | پیش بینی شده | مقادیر اصلاح کننده (mmol) | زمان التراسونیک (min) | دما (°C) | pH |
| ۲/۶۰۱۰ | ۲/۴۴۷۲ | ۵/۶۷ | ۲۴/۵ | ۱۷/۶ | ۳/۶۶ |



شکل ۱۰: پایداری دیسپرژن نمونه خام (۱)، نمونه خام التراسونیک شده (۲) و نمونه اصلاح شده (۳) در طی ۸ ماه.

Figure 10: Dispersion stability of raw carbon black (1), ultrasound raw sample (2) and modified sample (3) during 8 months.

اسیدی (pH=۳/۶۶)، دمای حدود (۱۷ °C)، زمان فراصوت (۳۰ min) و مقادیر اصلاح کننده (۶/۲۵ mmol) تعیین گردید. ذرات اصلاح شده در شرایط بهینه، پایداری بسیار بالایی از خود نشان می‌دهند. بطوری که سوسپانسیون آنها در محیط آبی بیش از ۸ ماه بدون ایجاد هیچ گونه رسوبی، به صورت پایدار در محیط آزمایشگاه باقی مانده است. روش مذکور در این مقاله، روشی بسیار کارا و با صرفه اقتصادی برای ایجاد پوشش‌رنگ‌های پایه آب با استفاده از رنگدانه‌های کربن سیاه ارزیابی می‌گردد.

تقدیر و تشکر

این مقاله مستخرج از پایان نامه کارشناسی ارشد آقای فرید نادری باهر بوده و از تمامی حمایت‌های مادی و معنوی دانشگاه شهید مدنی آذربایجان در پیشبرد این پژوهه تقدیر و تشکر می‌گردد.

تعارض منافع

در این مقاله هیچ گونه تعارض منافعی توسط نویسنندگان گزارش نشده است.

۴- نتیجه‌گیری

در پژوهش انجام شده هدف اصلاح سطح کربن سیاه برای تسهیل و بهبود پخش شدن آن در محیط آبی بود که با استفاده از اصلاح سطح کربن سیاه با روش کوپل اسید سولفاتانیلیک دی آزوته شده بر روی RSM رنگدانه کربن سیاه انجام شده و با استفاده از روش بهینه‌سازی عوامل مختلف تاثیرگذار و اهمیت آنها بررسی گردید. نتایج حاصل از آنالیزهای FTIR، صحت اصلاح سطحی و تشکیل پیوند کووالانسی بین گروه اسید سولفاتانیلیکی و کربن سیاه را نشان می‌دهد. نتایج حاصل از بررسی مقاومت حرارتی نمونه‌های اصلاح شده نشان می‌دهد که کربن سیاه اصلاح شده از مقاومت حرارتی مناسبی برخوردار بوده و می‌تواند در کاربردهایی تا دمای ۳۰۰ درجه سانتی‌گراد مورد استفاده قرار گیرد. نتایج آزمون DLS بیانگر کاهش اندازه ذرات رنگدانه کربن سیاه حین فرآیند اصلاح می‌باشد که می‌تواند به دلیل به وجود آمدن نیروهای دافعه الکترواستاتیکی بین ذرات باشد. با توجه به نتایج روش بهینه‌سازی به روش رویه پاسخ، می‌توان نتیجه‌گیری نمود که مدل پیش‌بینی شده توسط نرم افزار، از صحت پیش‌بینی بالایی برخوردار بوده و در نتیجه، شرایط بهینه عوامل تاثیرگذار شامل H₂O₂ و اسید سولفاتانیلیکی را مشخص نمود.

۵- مراجع

1. T. Liu, R. Casado-Portilla, J. Belmont, K. Matyjaszewski, "ATRP of butyl acrylates from functionalized carbon black surfaces", *J. Polym. Sci. Part A: Polym. Chem.* 43, 4695-4709, **2005**.
2. T. Liu, S. Jia, T. Kowalewski, K. Matyjaszewski, R. Casado-Portilla, J. Belmont, "Water-dispersible carbon black nanocomposites prepared by surface-initiated atom transfer radical polymerization in protic media", *Macromol.* 39, 548-556, **2006**.
3. F. Nsib, N. Ayed and Y. Chevalier, "Selection of dispersants for the dispersion of carbon black in organic medium", *Prog. Org. Coat.* 55, 303-310, **2006**.
4. G. Kühner and M. Voll, "Manufacture of carbon black", *Carbon black*, 1-66, **2018**.
5. L. Wang, L. Zhang, D. Wang, M. Li, C. Du, S. Fu, "Surface modification of carbon black by thiol-ene click reaction for improving dispersibility in aqueous phase", *J. Dispersion Sci. Technol.* 40, 152-160, **2019**.
6. C. Yoon and J. H. Choi, "Synthesising polymeric dispersants to apply to carbon black pigmented mill bases for use in ink-jet inks", *Color. Technol.* 136, 60-74, **2020**.
7. Q. Jiang, S. Wang, S. Xu, "Preparation and characterization of water-dispersible carbon black grafted with polyacrylic acid by high-energy electron beam irradiation", *J. Mater. Sci.* 53, 6106-6115, **2018**.
8. V. Ruiz, L. Yate, J. Langer, I. Kosta, H. J. Grande and R. Tena-Zaera, "PEGylated carbon black as lubricant nanoadditive with enhanced dispersion stability and tribological performance", *Tribol. Int.* 137, 228-235, **2019**.
9. J. Y. Zhao, C. Y. Wang, "Highly aqueous-dispersible carbon black grafted with SAS and AA copolymers", *Chem. Lett.* 34, 580-581, **2005**.
10. R. D. Smith, P. G. Pickup, "Voltammetric quantification of the spontaneous chemical modification of carbon black by diazonium coupling", *Electrochimica Acta*. 54, 2305-2311, **2009**.
11. M. Toupin, D. Bélanger, "Spontaneous functionalization of carbon black by reaction with 4-nitrophenyldiazonium cations", *Langmuir*. 24, 1910-1917, **2008**.
12. M. Toupin and D. Bélanger, "Thermal stability study of aryl modified carbon black by in situ generated diazonium salt", *J. Phys. Chem. C*. 111, 5394-5401, **2007**.
13. M. Sandomierski, T. Buchwald, B. Strzemiecka and A. Voelkel, "Carbon black modified with 4-hydroxymethylbenzenediazonium salt as filler for phenol-formaldehyde resins and abrasive tools", *J. Appl. Polym. Sci.* 137, 48160, **2020**.
14. S. Mahouche-Chergui, S. Gam-Derouich, C. Mangeney, M. M. Chehimi, "Aryl diazonium salts: a new class of coupling agents for bonding polymers, biomacromolecules and nanoparticles to surfaces", *Chem. Soc. Rev.* 40, 4143-4166, **2011**.
15. Y. Liu, W. Xu, J. Zhu, C. Wang and S. Sheng, "Polyamide 6/modified carbon black nanocomposites prepared via in situ polymerization", *J. Macromol. Sci. Part B*, 54, 469-480, **2015**.
16. D. German, E. Kolobova, E. Pakrieva, S. A. Carabineiro, E. Sviridova, S. Perevezentsev, S. Alijani, A. Villa, L. Prati, P. Postnikov, "The Effect of Sibunit Carbon Surface Modification with Diazonium Tosylate Salts of Pd and Pd-Au Catalysts on Furfural Hydrogenation", *Mater.* 15, 4695, **2022**.
17. I. N. Dammulla and G. M. Swain, "Inhibiting the Oxygen Reduction Reaction Kinetics on Carbon Fiber Epoxy Composites Through Diazonium Surface Modification-Impacts on the Galvanic Corrosion of Coupled Aluminum Alloys", *J. Electrochem. Soc.*, **2022**.
18. S. J. S. Chelladurai, K. Murugan, A. P. Ray, M. Upadhyaya ,V. Narasimharaj, S. Gnanasekaran, "Optimization of process parameters using response surface methodology: A review", *Mater. Today: Proceedings*, 37, 1301-1304, **2021**.
19. S. J. M. Breig and K. J. K. Luti, "Response surface methodology: A review on its applications and challenges in microbial cultures", *Mater. Today: Proceedings*, 42, 2277-2284, **2021**.
20. N. Arahman, A. Fahrina, S. Amalia, R. Sunarya, S. Mulyati, "Effect of PVP on the characteristic of modified membranes made from waste PET bottles for humic acid removal", *F1000Research*, 6, **2017**.
21. I. Faniyi, O. Fasakin, B. Olofinjana, A. Adekunle, T. Oluwasusi, M. Eleruja, E. Ajayi, "The comparative analyses of reduced graphene oxide (RGO) prepared via green, mild and chemical approaches", *SN Appl. Sci.* 1, 1-7, **2019**.
22. H. Karimipour, A. Shahbazi, V. Vatanpour, "Fouling decline and retention increase of polyethersulfone membrane by incorporating melamine-based dendrimer amine functionalized graphene oxide nanosheets (GO/MDA)", *J. Environ. Chem. Eng.*, 9, 104849, **2021**.
23. C. Muthuselvi, S. Pandiaraja, B. Ravikumar, S. Athimoolam, N. Srinivasan and R. Krishnakum, "FT-IR and FT-Raman spectroscopic analyzes of indeno quinoxaline derivative crystal", *Asian J. Appl .Sci.* 11, 83-91, **2018**.
24. S. Ramesh, L. J. Yi, "FTIR spectra of plasticized high molecular weight PVC-LiCF₃SO₃ electrolytes", *Ionics*, 15, 413-420, **2009**.
25. M. Palencia, B. Rivas, E. Pereira, A. Arrieta, "Polyelectrolyte adsorption study on polyethersulfone membrane during polymer-enhanced ultrafiltration by electrochemical impedance spectroscopy", *Polym. Bull.* 65, 145-156, **2010**.

26. H. Moghanian, A. Mobinikhalezi, A. Blackman, E. Sarough-Farahani, "Sulfanilic acid-functionalized silica-coated magnetite nanoparticles as an efficient, reusable and magnetically separable catalyst for the solvent-free synthesis of 1-amido-and 1-aminoalkyl-2-naphthols", RSC Adv. 4, 28176-28185, **2014**.
27. M. J. Adams, "Chemometrics in analytical spectroscopy", Edition 2, **2004**.
28. A. K. Abdessalem, N. Oturan, N. Bellakhal, M. Dachraoui and M. A. Oturan, "Experimental design methodology applied to electro-Fenton treatment for degradation of herbicide chlortoluron", Appl. Catal. B, 78, 334-341, **2008**.

How to cite this article:

Majid Mazhar, Ali Reza Amani-Ghadim, Farid Naderi-Baher, Ahmad Pourhosein, Dispersibility Promotion of the Carbon Black Pigments and Optimization of the Process Via Response Surface Methodology (RSM), *J. Stud. Color world*, 12, 2(2022), 171-190.

DOI: [20.1001.1.22517278.1401.12.2.6.3](https://doi.org/10.1001.1.22517278.1401.12.2.6.3)